

III-52 粘性土の三軸圧縮クリープ試験とその応力緩和の適用について

徳島大学工学部 正員 ○小田英一
大阪府立土木部 正員 木村亨

三軸圧縮クリープ試験について Vyalov の理論に基づいて従来より研究してきたが、これより求められた実験式と実験値と比較するとときヒスミ時間曲線において実験式によどものが勾配が大きくなる傾向があった。今回は応力制御試験において荷重の補正を行つとともに、A. Singh & J. K. Mitchell の理論に基づいて実験式を求めた所クリープ曲線は実験値とよく一致した。ここで側液圧五種類がえたときクリープ曲線より Vyalov の考えに基づいて応力緩和曲線を求めたことについて述べる。

1. 三軸圧縮クリープの理論：

$$\tau_m = \text{Octahedral shear stress}$$

$$\delta_m = \text{Octahedral shear strain}$$

$$\tau_m = \frac{\sqrt{2}}{3} (\sigma_1 - \sigma_3) \quad \cdots \quad (1)$$

三軸圧縮クリープ試験の非排水試験では

$$\delta_m = \frac{1}{\sqrt{2}} \dot{\epsilon} \quad \cdots \quad (2)$$

ただし $\dot{\epsilon}$: 鉛直方向ヒスミ、 t : 時間 (分) として A. Singh & J. K. Mitchell の理論を基にして

$$\log_{10} \dot{\epsilon}(t, \tau_m) = \log_{10} \dot{\epsilon}(1, \tau_m) - m \log_{10} t \quad \cdots \quad (3)$$

$$\log_{10} \dot{\epsilon}(t, \tau_m) = \log_{10} \dot{\epsilon}(1, 0) + \alpha \tau_m \quad \cdots \quad (4)$$

ただし m, α は常数、 $\dot{\epsilon}(1, \tau_m)$: 單位時間における鉛直ヒスミ速度、 $\dot{\epsilon}(1, 0)$: $\tau_m = 0$ における大時間における鉛直ヒスミ速度、

とする。(3)式、(4)式より

$$m+1 \text{ のとき } \delta_m = \frac{1}{\sqrt{2}} \left[\dot{\epsilon}(1, 0) \cdot 10^{\alpha \tau_m} \left(\frac{t^{1-m}}{1-m} \right) + C_1 \right] \quad \cdots \quad (5)$$

$$m=1 \text{ のとき } \delta_m = \frac{1}{\sqrt{2}} \left[2.30 \dot{\epsilon}(1, 0) \cdot 10^{\alpha \tau_m} \log_{10} t + C_2 \right] \quad \cdots \quad (6)$$

ただし $\dot{\epsilon}(1, 0)$: $t = 1$ 分のときのその値、 C_1

C_2 は積分常数とする。(5)、(6)式により

三軸圧縮クリープの時間ヒスミ関係が求

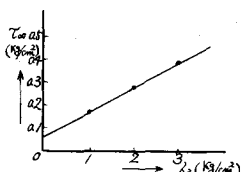


図-1

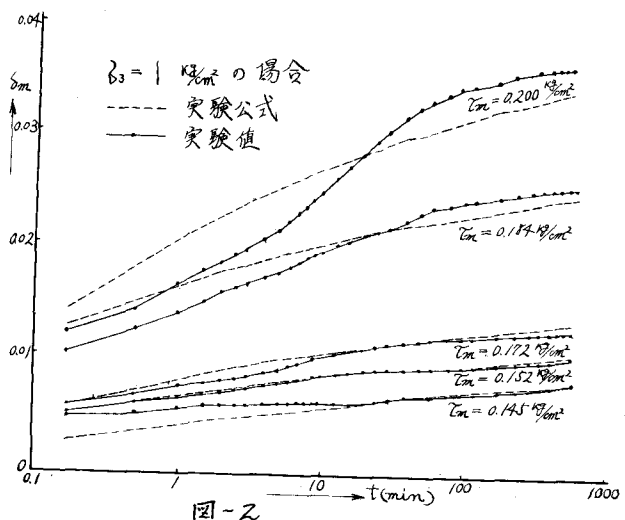


図-2

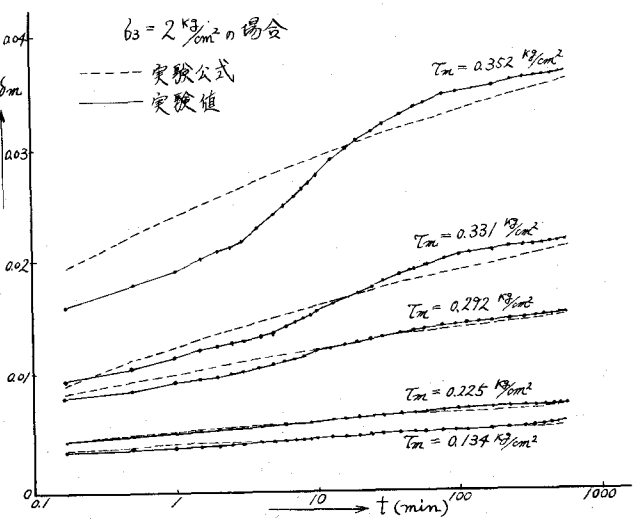


図-3

められることとなる。

2. 三軸圧縮クリープ試験と解析：

試験試料の土の物理的性質は $L_L = 48.5\%$, $P.L. = 26\%$, 密比重 $G_s = 2.683$, 粒度組成は砂分4%, シルト分48%, 黏土分48%で粘土である。これで大型の箱につめ圧密して試験試料を作成したものの含水比は平均35%, 飽和度は100%であった。荷重制御法による上限降伏値を図-1に示す。

三軸圧縮クリープ試験は $\sigma_3 = 1, 2, 3 \text{ kg/cm}^2$ の三種類の場合について、鉛直載荷量は土試料の断面積の変化に応じ、 $\sigma_3 = \text{const.}$ によるように荷重補正を行つた。そのクリープ試験結果を図-2より図-4迄に示す。またその関係を副変数として表わしたものと図-5より図-7迄に示す。これより $m \sim \sigma_3$ の関係を図-11に示す。また $\dot{\epsilon} \sim \sigma_3$ の関係を図-12に示す。これより $\alpha \sim \sigma_3$ の関係を図-13に示す。以上のことより本実験においては

$$m = 1.19 - 0.05\sigma_3 \quad \dots (7), \quad \text{で} m < \text{で} \infty \text{のとき } \alpha = 6.28$$

$$- 3.41(\sigma_3 - 1)^{0.355}, \quad \text{で} m > \text{で} \infty \text{のとき } \alpha = 14.70 - 8.5k(\sigma_3 - 1)^{0.42} \quad \dots (8)$$

となる。つぎに C_1, C_2 は ϵ_{20} の値よりきめる。図-14において

$\text{で} m < \text{で} \infty$ では $\epsilon_{20} = P(\sigma_3) \cdot \text{で} m$ の関係があり、 $P \sim \sigma_3$ の関係は図-15に示す。これより $\epsilon_{20} = 0.057\sigma_3^{-0.55} \cdot \text{で} m \quad \dots (9)$ となる。 $\text{で} m > \text{で} \infty$ のときは図-14において、それまでの直線と横軸との交点までで、 $\text{で} m \sim \sigma_3$ の関係は図-16となり、図-14の $\text{で} m > \text{で} \infty$ のときの直線の勾配 $\alpha \sim \sigma_3$ の関係は図-17となることより

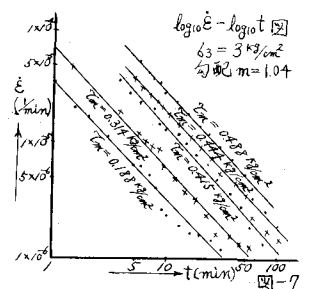
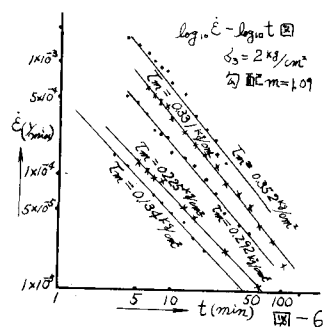
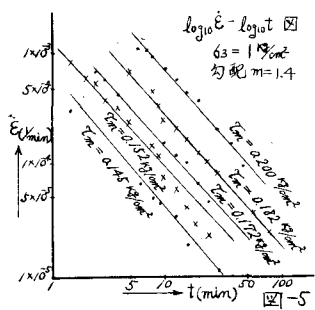
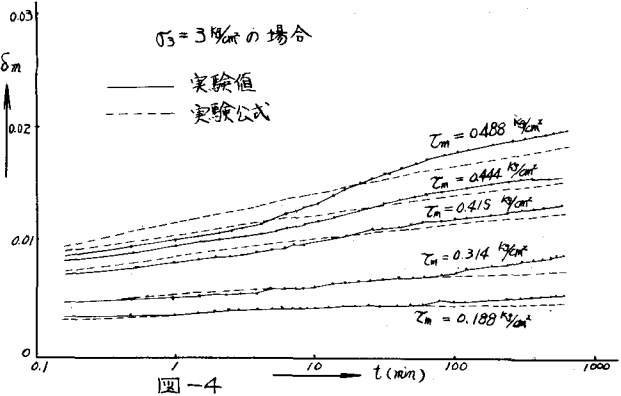
$$\epsilon_{20} = \text{で} m_0 + g(\text{で} m - \text{で} m_0) = 0.145\sigma_3^{0.70} - 0.29(\text{で} m - 0.145\sigma_3^{0.70}) \quad \dots (10)$$

となる。ただし ϵ_{20} : $t = 20\text{min}$ のときのその値、とする。

(7)式より(10)式と(5)式、(6)式に代入することにより本実験における三軸圧縮クリープの実験公式がえられる。これで図-2, 図-3, 図-4の実線で示す。これによれば実験公式は実験値と比較的よく合つていいことが判る。

3. 応力緩和の適用：

Tyalov²⁾の考え方によれば、図-18に示すように直交三座標で、 σ_3 , δ_m , $\text{で} m$ にとつて、ある σ_3 の値のときのクリープ曲線を描き、これによりてさきの曲面と $\delta_m = \text{const.}$ の平面との交線がででん曲線すなわち応力緩和曲線となる。このようにしてえられた応力緩和曲線を $\sigma_3 = 2 \text{ kg/cm}^2$ の場合につき図-19に示す。また林山、柴田氏³⁾の理論によれば $\text{で} m = (a - b \log_{10} t) \delta_m \quad \dots (11)$



によって応力緩和の式があらわされ

3. ここに a , b は常数である。これより各 θ_i の値のときの a , b の値を求めたものが図-20 に示す。この図で初期とは図-19 に示すてん太曲線の初期において勾配が急な部分を初期緩和と称すことにとする。長期とは初期緩和につづく勾配の中間部分で長期緩和と称することとする。

δ_{moo} は τ_{∞} に対する応答する δ_m の値である。
 この図によれば「初期、長期緩和」と
 それに δ_m の値にかかわらず α が大とな
 れば α の値は増加していく。 δ_m が大
 となれば α の値が減少していくこと
 を示している。 α の値は δ_m の値の変

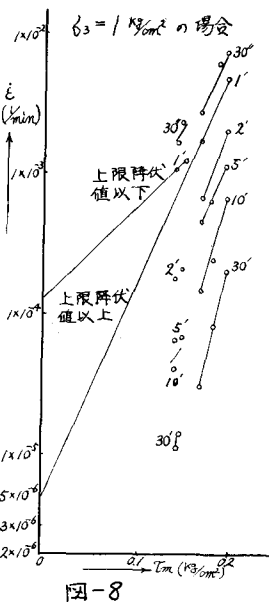


圖-8

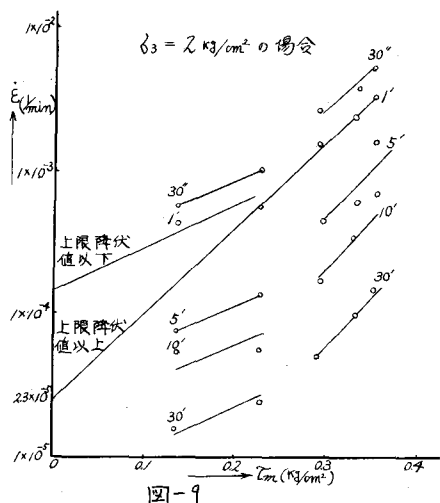
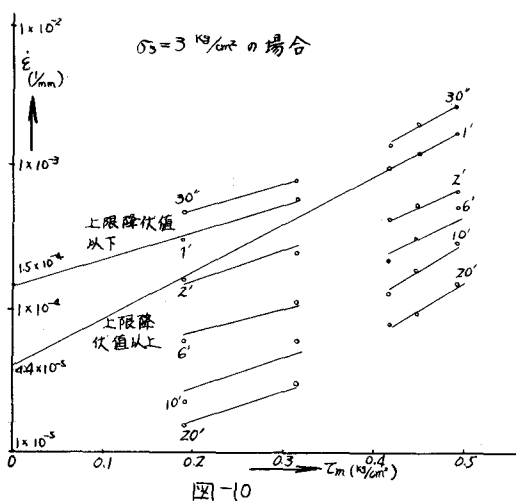
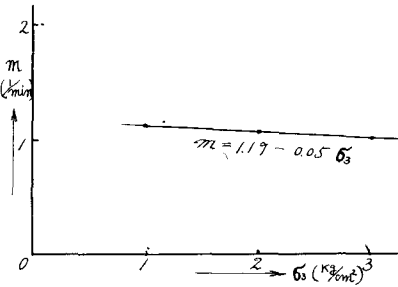


図-9



四-10



一一一

化に対し、あまり変化なくほぼ“一定”であるが、 δ_m が大きくなれば
長の値は減少していることを示している。

- 1) A. Singh & T.K. Mitchell: Proceedings of A.S.C.E. SM1,
January 1968

2) S. S. Dyalow: Proceedings of 6th I.C.S.M.F.E. Vol II, 1965

3) 村山, 紫田: I.U.T.A.M. SYMPOSIUM GRENOBLE, 1964

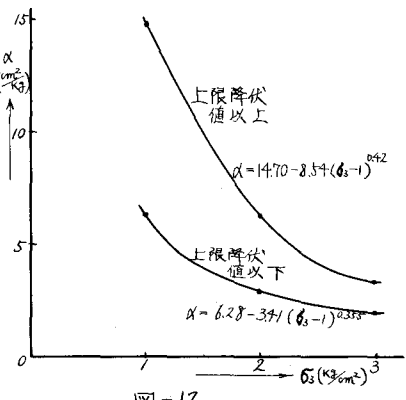


図-12

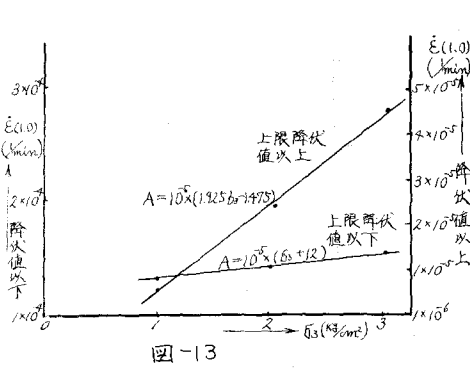


図-13

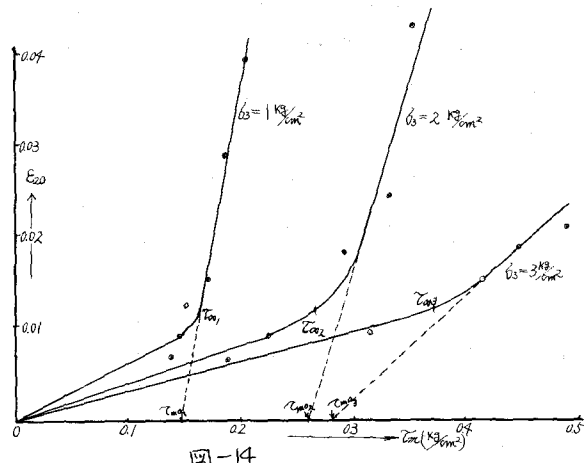


図-14

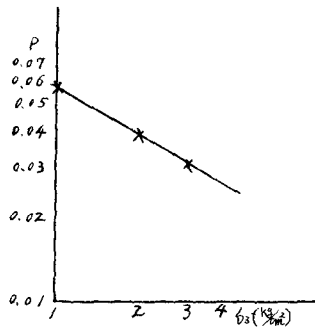


図-15

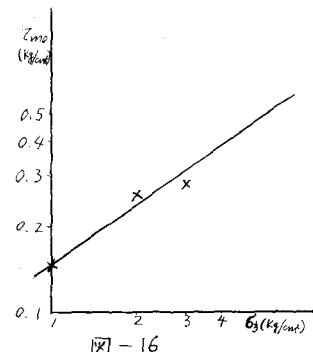


図-16

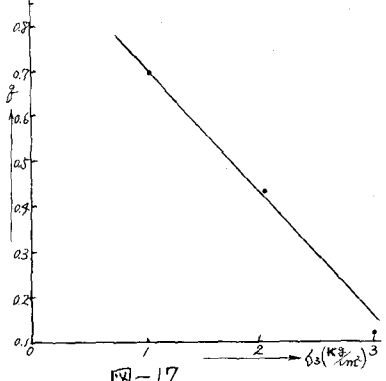


図-17

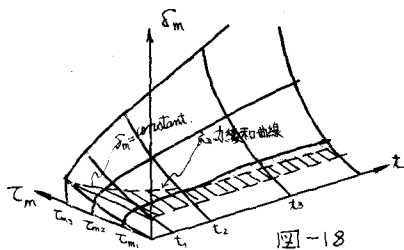


図-18

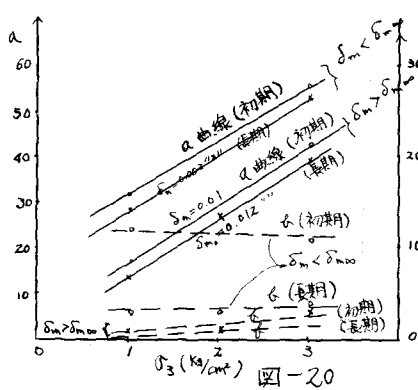


図-20

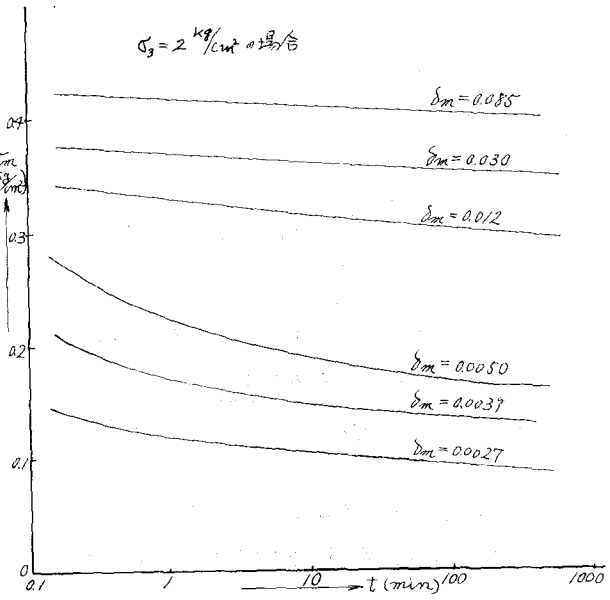


図-19